

# Redução de Diagnosticadores de Sistemas a Eventos Discretos

Augusto P. Vasconcellos\* Gustavo S. Viana\*  
Marcos V. Moreira\*

\* Universidade Federal do Rio de Janeiro  
COPPE - Programa de Engenharia Elétrica  
21949-900, Rio de Janeiro, R.J., Brasil, (e-mail: augustopmv;  
gustavo.viana; moreira.mv@poli.ufrj.br)

**Abstract:** The main drawback of implementing the traditional diagnoser of Discrete-Event Systems proposed in the literature is that its state set can be very large, requiring the use of a large amount of memory to store the diagnoser for large complex systems. In this paper, we propose an algorithm for the computation of a reduced diagnoser, that preserves the diagnosability of the system language and the same diagnosis delay as the original diagnoser. We show that the proposed reduction strategy can lead to a reduced diagnoser with fewer states than by using other strategies proposed in the literature.

**Resumo:** A principal desvantagem na implementação do diagnosticador tradicional de Sistemas a Eventos Discretos proposto na literatura é que seu conjunto de estados pode ser muito grande, requerendo o uso de uma quantidade de memória demasiadamente grande para armazenar o diagnosticador para sistemas grandes e complexos. Neste artigo, é proposto um algoritmo para computar um diagnosticador reduzido, que preserva tanto a diagnosticabilidade da linguagem do sistema quanto o mesmo atraso para o diagnóstico que o diagnosticador original. Além disso, é mostrado que a estratégia de redução proposta pode levar a um diagnosticador reduzido com menos estados do que outras estratégias propostas na literatura.

*Keywords:* Discrete-event systems; Fault diagnosis; Automata.

*Palavras-chaves:* Sistemas a eventos discretos; Diagnóstico de falhas; Autômatos.

## 1. INTRODUÇÃO

Para garantir uma operação confiável de sistemas de automação industriais, é necessário diagnosticar de maneira eficiente a ocorrência de falhas, *i.e.*, detectar e isolar a falha que ocorreu antes que ela danifique componentes do sistema ou cause risco aos operadores. Se o sistema puder ser abstraído como um Sistema a Evento Discreto (SED), então a falha pode ser modelada como um evento que deve ser identificado pelo sistema de diagnóstico. Neste caso, o atraso para o diagnóstico, definido como o maior número de ocorrências de eventos que o sistema pode executar após a falha ocorrer até sua detecção (Yoo and Garcia, 2003; Tomola et al., 2017; Viana et al., 2019), pode ser utilizado para determinar a eficiência do método de diagnóstico.

Em Sampath et al. (1995), um diagnosticador é construído para detectar e isolar eventos de falha não-observáveis, e a propriedade de diagnosticabilidade, que está relacionada com a capacidade de identificar a ocorrência de uma falha após um número limitado de ocorrências de eventos, é introduzida. Diagnosticadores podem ser utilizados para verificar a diagnosticabilidade do sistema e para diagnose em tempo real. A principal desvantagem de implementar diretamente o diagnosticador proposto em Sampath et al. (1995) é que seu conjunto de estados cresce no pior caso exponencialmente com o número de estados do modelo do sistema. Em Clavijo and Basilio (2017), é mostrado que, no

caso médio, o diagnosticador cresce polinomialmente com o número de estados do sistema. Contudo, em sistemas complexos, o diagnosticador pode ainda ter um número elevado de estados, requerendo uma grande quantidade de memória para ser implementado. Assim, é desejável reduzir o tamanho do diagnosticador para sua implementação, preservando a diagnosticabilidade do sistema e o atraso para o diagnóstico. Para tanto, é necessário que a linguagem do diagnosticador reduzido simule a linguagem original do diagnosticador. Em geral, entretanto, a redução de estados de um autômato leva a um aumento da linguagem em comparação ao autômato original. Isso ocorre devido à geração de uma linguagem excedente por conta da introdução de novos ciclos no autômato reduzido.

Ao longo dos anos, o problema de minimização de autômatos finitos determinísticos (AFD) foi abordado para diferentes objetivos, conforme apresentado em Zad et al. (2003), Su and Wonham (2004), Hopcroft et al. (2006) e Cai et al. (2019). Em Hopcroft et al. (2006), a minimização de um AFD é baseada em encontrar e agregar os estados equivalentes do autômato, ou seja, os estados que ao serem agregados não levam a uma modificação da linguagem marcada do sistema. Em Zad et al. (2003), é apresentada uma abordagem de redução de diagnosticadores para o diagnóstico de falhas baseado em estado em tempo real.

Outros métodos de redução foram abordados na literatura, mais notadamente na teoria de controle supervísório (Minhas, 2002; Su and Wonham, 2004; Sivollela et al., 2006; da Silva Neto, 2008). Em Minhas (2002), o processo de redução é baseado em encontrar *coberturas de controle*, que são conjuntos formados por conjuntos de estados que se comportam de maneira consistente no que diz respeito às suas ações de controle, *i.e.*, para qualquer par de estados de um subconjunto de uma cobertura de controle, todos os eventos que estão habilitados por um desses estados não pode ser desabilitado pelo outro. A limitação do método proposto em Minhas (2002) é que, em alguns casos, a determinização do autômato, ou mesmo a redução do supervisor, não pode ser garantida. Para superar este problema, Su and Wonham (2004) introduziram o conceito de *congruência de controle*, que é um caso especial da cobertura de controle. Se os subconjuntos da cobertura de controle formam uma partição sobre os estados do supervisor, então a cobertura de controle é denominada congruência de controle. O determinismo do supervisor reduzido é garantido quando a congruência de controle é utilizada, porém não é possível garantir a obtenção de um supervisor mínimo, que foi demonstrado em Vaz and Wonham (1986) ser um problema NP-difícil.

Neste artigo é proposto um algoritmo que computa um diagnosticador determinístico reduzido, que preserva a diagnosticabilidade da linguagem do sistema e tem o mesmo atraso para o diagnóstico do diagnosticador original. Semelhante a Su and Wonham (2004) e Cai et al. (2019), os conjuntos de estados agregados do diagnosticador reduzido são disjuntos. Diferentemente dos outros métodos apresentados na literatura, o método proposto neste trabalho não depende de um ordenamento prévio dos estados, dado como entrada nos algoritmos de redução. O algoritmo de redução adotado procura, a cada passo, maximizar a possibilidade de redução do diagnosticador no passo seguinte. Um exemplo será utilizado ao longo do texto para ilustrar a aplicação do método, e para mostrar que a estratégia de redução proposta pode levar a um diagnosticador com menos estados que o diagnosticador obtido considerando o mesmo critério utilizado por Su and Wonham (2004) e Cai et al. (2019).

Este artigo está estruturado da seguinte forma. Na seção 2 alguns conceitos preliminares são apresentados. Na seção 3 o algoritmo para redução de diagnosticadores é descrito e são apresentados alguns exemplos da redução de diagnosticadores utilizando o algoritmo proposto. As conclusões são apresentadas na seção 4.

## 2. CONCEITOS PRELIMINARES

### 2.1 Notações e Definições

Sejam  $A$  e  $B$  dois conjuntos. Então,  $|A|$  denota a cardinalidade de  $A$ , e  $A \setminus B$  denota a diferença entre  $A$  e  $B$ .

Considere que  $G = (X, \Sigma, f, x_0)$  denota um AFD que modela um SED, em que  $X$  é conjunto de estados,  $\Sigma$  é o conjunto finito de eventos,  $f : X \times \Sigma^* \rightarrow X$  é a função de transição de estados definida em  $X \times \Sigma^*$ , em que  $\Sigma^*$  denota o fecho de Kleene de  $\Sigma$  e  $x_0$  é o estado inicial do sistema. Além disso, considere que  $\Sigma$  pode ser particionado

como  $\Sigma = \Sigma_o \cup \Sigma_{uo}$ , em que  $\Sigma_o$  e  $\Sigma_{uo}$  são os conjuntos de eventos observáveis e não-observáveis, respectivamente.

Seja  $\Gamma_G : X \rightarrow 2^\Sigma$  a função de eventos viáveis de  $G$ , tal que  $\Gamma_G(x) = \{\sigma \in \Sigma : f(x, \sigma)!\}$ , em que  $!$  denota *é definido*. Uma vez que  $f$  é uma função parcial, então a linguagem gerada por  $G$ , denotada por  $\mathcal{L}(G) = L$ , é definida como  $L = \{s \in \Sigma^* : f(x_0, s)!\}$ . Dessa forma, o fecho de prefixo de  $L$ , denotado por  $\bar{L}$ , é definido como  $\bar{L} = \{s \in \Sigma^* : (\exists t \in \Sigma^*) [st \in L]\}$ . Se  $L = \bar{L}$ , então  $L$  é dita ser prefixo-fechada. A linguagem  $L \subseteq \Sigma^*$  é dita ser viva se, para todas as sequências  $s \in L$ , existe um evento  $\sigma \in \Sigma$ , tal que  $s\sigma \in L$  (Cassandras and Lafortune, 2008). O comprimento de uma sequência  $s \in L$  é denotado por  $|s|$ . Um caminho em  $G$  é dado por  $(x_1, \sigma_1, x_2, \dots, \sigma_{n-1}, x_n)$ , em que  $x_i \in X$ ,  $\sigma_i \in \Sigma$ , e  $x_{i+1} = f(x_i, \sigma_i)$ ,  $i = 1, 2, \dots, n-1$ , e o caminho é dito ser cíclico se  $x_1 = x_n$ .

Sejam  $\Sigma_s$  e  $\Sigma_l$  conjuntos de eventos tais que  $\Sigma_s \subset \Sigma_l$ . A projeção  $P : \Sigma_l^* \rightarrow \Sigma_s^*$  é definida como: (i)  $P(\varepsilon) = \varepsilon$ ; (ii)  $P(\sigma) = \sigma$ , se  $\sigma \in \Sigma_s$ ; (iii)  $P(\sigma) = \varepsilon$ , se  $\sigma \in \Sigma_l \setminus \Sigma_s$ ; (iv)  $P(s\sigma) = P(s)P(\sigma)$ , para  $s \in \Sigma_l^*$ ,  $\sigma \in \Sigma_l$ , em que  $\varepsilon$  denota a sequência vazia. Além disso, a projeção inversa  $P^{-1} : \Sigma_s^* \rightarrow 2^{\Sigma_l^*}$  pode ser definida como  $P^{-1}(t) := \{s \in \Sigma_l^* : P(s) = t\}$ .

Sejam  $G_1$  e  $G_2$  dois autômatos. Então, a composição paralela entre  $G_1$  e  $G_2$  é denotada por  $G_1 \parallel G_2$  (Cassandras and Lafortune, 2008). A operação de tomar a parte acessível de um autômato  $G$  é denotada por  $Ac(G)$  (Cassandras and Lafortune, 2008).

O alcance não-observável de um estado  $x$  é definido como  $UR(x) = \{y \in X : (\exists t \in \Sigma_{uo}^*) [(f(x, t) = y)]\}$ . Seja  $A \subseteq X$ , então o alcance não-observável de  $A$  é dado por  $UR(A) = \bigcup_{x \in A} UR(x)$ . O observador de  $G$  pode ser definido como  $Obs(G) = (X_{obs}, \Sigma_o, f_{obs}, x_{0,obs})$ , em que  $X_{obs} \subseteq 2^X$ ,  $x_{0,obs} = UR(x_0)$ , e para todo  $x_{obs} \in X_{obs}$ ,  $\Gamma_{G_{obs}}(x_{obs}) = \bigcup_{x \in x_{obs}} \Gamma_G(x) \cap \Sigma_o$ ,  $f_{obs}(x_{obs}, \sigma) = \bigcup_{(x \in x_{obs}) \wedge (f(x, \sigma)!) } UR(f(x, \sigma))$ , se  $\sigma \in \Gamma_{G_{obs}}(x_{obs})$ , ou não definido, caso contrário.

### 2.2 Diagnosticabilidade de Sistemas a Eventos Discretos

Suponha que  $\Sigma_f \subseteq \Sigma_{uo}$  é o conjunto formado pelos eventos de falha que devem ser diagnosticados. Suponha também, sem perda de generalidade, que  $\Sigma_f = \{\sigma_f\}$ . O caso de múltiplas falhas pode ser abordado analisando-se cada tipo de falha separadamente (Yoo and Lafortune, 2002). Em Sampath et al. (1995), a propriedade da linguagem do sistema relacionada com a capacidade de diagnosticar a ocorrência do evento de falha  $\sigma_f$ , denominada *diagnosticabilidade*, é apresentada. Para definir formalmente essa propriedade, em Sampath et al. (1995) as seguintes hipóteses são consideradas: (i) a linguagem  $L$  é viva; e (ii) o autômato  $G$  que representa a planta não contém caminhos cíclicos formados apenas por eventos não-observáveis. Neste artigo, as mesmas hipóteses apresentadas em Sampath et al. (1995) são consideradas.

Seja  $L_N \subset L$  a linguagem prefixo-fechada formada por todas as sequências de  $L$  que não contém o evento de falha  $\sigma_f$ , e seja  $G_N$  o subautômato de  $G$  que gera a linguagem  $L_N$ . Assim, a seguinte definição de diagnosticabilidade de  $L$  pode ser apresentada (Sampath et al., 1995).

Definição 1. Seja  $L$  a linguagem gerada por  $G$ , e suponha que  $L$  seja viva. Seja  $L_N \subset L$  a linguagem livre de falha de  $L$ . Seja  $P_o : \Sigma^* \rightarrow \Sigma_o^*$  uma operação de projeção. Então,  $L$  é dita ser diagnosticável com relação à  $P_o$  e  $\Sigma_f$ , se

$$(\exists z \in \mathbb{N}) (\forall s \in L \setminus L_N) (\forall st \in L \setminus L_N, |t| \geq z)$$

$$\Rightarrow (\forall \omega \in P_o^{-1}(P_o(st)) \cap L, \omega \in L \setminus L_N).$$

□

De acordo com a Definição 1,  $L$  não é diagnosticável com relação à  $P_o$  e  $\Sigma_f$  se, e somente se, existir uma sequência de falha  $st$ , de comprimento arbitrariamente longo após a falha, com a mesma observação que uma sequência livre de falha  $\omega$  em  $L_N$ , i.e.,  $P_o(st) = P_o(\omega)$ . Se  $L$  for diagnosticável com relação à  $P_o$  e  $\Sigma_f$ , então é possível definir o atraso para o diagnóstico, denotado por  $z^*$ , como o menor valor de  $z$  que satisfaz a condição de diagnosticabilidade da Definição 1.

Em Sampath et al. (1995), o autômato diagnosticador é proposto para realizar diagnóstico em tempo real e verificar a diagnosticabilidade do sistema. Para tal, primeiro é definido o autômato rotulador  $A_l = (X_l, \Sigma_f, f_l, x_{0,l})$ , em que  $X_l = \{N, Y\}$ ,  $x_{0,l} = \{N\}$ ,  $f_l(N, \sigma_f) = Y$ , e  $f_l(Y, \sigma_f) = Y$ . O rótulo  $Y$  indica a ocorrência do evento de falha  $\sigma_f$ , e o rótulo  $N$  significa que a falha não ocorreu. Assim, o diagnosticador é definido como  $G_d = Obs(G_l) = (X_d, \Sigma_o, f_d, x_{0,d})$ , em que  $G_l = G \parallel A_l$ .

Note que os estados de  $G_d$  são da seguinte forma  $x_d = \{(x_1, l_1), \dots, (x_n, l_n)\}$ , em que  $x_i \in X$  e  $l_i \in \{Y, N\}$ , para  $i = 1, \dots, n$ . Se o rótulo  $l_i = Y$  para  $i = 1, \dots, n$ , então  $x_d$  é dito ser um estado *positivo*. Por outro lado, se  $l_i = N$  para  $i = 1, \dots, n$ ,  $x_d$  é dito ser um estado *negativo*. Finalmente, se existe  $l_i = Y$  e  $l_j = N$ ,  $i \neq j$ ,  $x_d$  é dito ser um estado *incerto*.

O conjunto de estados do autômato diagnosticador pode ser particionado como  $X_d = X_Y \cup X_N \cup X_{NY}$ , em que  $X_Y$ ,  $X_N$  e  $X_{NY}$  são, respectivamente, os conjuntos formados por todos os estados positivos, negativos e incertos de  $G_d$ .

Com o objetivo de verificar a diagnosticabilidade de  $L$  utilizando o diagnosticador, é necessário fazer a busca por ciclos indeterminados em  $G_d$  (Sampath et al., 1995). A seguir, são apresentadas as definições de ciclos e ciclos indeterminados.

Definição 2. Um ciclo em  $G$  é o conjunto de estados formado por um caminho cíclico  $(x_k, \sigma_1, x_{k+1}, \sigma_2, \dots, \sigma_l, x_{k+l})$ , em que  $x_{k+l} = x_k$ . □

Definição 3. Um ciclo indeterminado em  $G_d$  é o conjunto  $\{x_{d_1}, x_{d_2}, \dots, x_{d_p}\} \subseteq X_d$  formado por estados incertos, satisfazendo as seguintes condições:

- (i)  $\{x_{d_1}, x_{d_2}, \dots, x_{d_p}\}$  forma um ciclo em  $G_d$ .
- (ii)  $\exists (x_l^{k_l}, Y), (\tilde{x}_l^{r_l}, N) \in x_{d_l}$ , com  $x_l^{k_l}$  não necessariamente distinto de  $\tilde{x}_l^{r_l}$ ,  $l = 1, 2, \dots, p$ ,  $k_l = 1, 2, \dots, m_l$ , e  $r_l = 1, 2, \dots, \tilde{m}_l$ , tal que os estados  $\{x_l^{k_l}\}$ ,  $l = 1, 2, \dots, p$ ,  $k_l = 1, 2, \dots, m_l$ , e  $\{\tilde{x}_l^{r_l}\}$ ,  $l = 1, 2, \dots, p$ ,  $r_l = 1, 2, \dots, \tilde{m}_l$ , podem ser rearranjados para formar ciclos em  $G$ . □

De acordo com a Definição 3, uma condição necessária e suficiente para a diagnosticabilidade de  $L$ , baseada na construção do autômato diagnosticador  $G_d$ , pode ser enunciada a seguir.

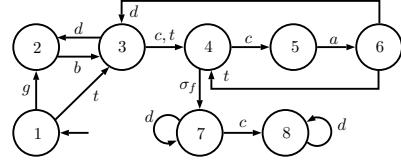


Figura 1. Autômato  $G$ .

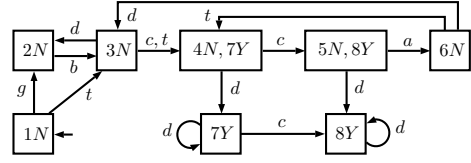


Figura 2. Autômato diagnosticador  $G_d$ .

Teorema 1. A linguagem  $L$  é diagnosticável com relação à  $P_o$  e  $\Sigma_f = \{\sigma_f\}$  se, e somente se,  $G_d$  não possui ciclos indeterminados.

*Prova.* Ver Sampath et al. (1995). □

O exemplo 1 ilustra a construção de  $G_d$  e a verificação da diagnosticabilidade da linguagem  $L$ .

Exemplo 1. Considere o sistema modelado pelo autômato  $G$ , ilustrado na Figura 1, em que  $\Sigma = \{a, b, c, d, t, \sigma_f\}$ ,  $\Sigma_o = \{a, b, c, d, t\}$  e  $\Sigma_{uo} = \Sigma_f = \{\sigma_f\}$ , e suponha que se deseja verificar se a linguagem  $L$  é diagnosticável com relação à  $P_o$  e  $\sigma_f$ . Para tanto, o autômato diagnosticador  $G_d$ , apresentado na Figura 2, é obtido. Uma vez que  $G_d$  não possui ciclos indeterminados, então  $L$  é diagnosticável com relação à  $P_o$  e  $\sigma_f$ . □

### 3. ALGORITMO PARA REDUÇÃO DE DIAGNOSTICADORES

Considere que a linguagem  $L$  é diagnosticável com relação à  $P_o$  e  $\Sigma_f$ . Nesse caso, o diagnosticador proposto em Sampath et al. (1995) pode ser construído. Uma vez que a construção do diagnosticador  $G_d$  é baseado em um observador, então  $G_d$  pode ter um número elevado de estados (Clavijo and Basilio, 2017; Sampath et al., 1995). Nesta seção, um algoritmo para redução do diagnosticador  $G_d$ , de tal maneira que a diagnosticabilidade de  $L$  e o atraso para o diagnóstico sejam ambos preservados, é proposto. O método utilizado é baseado em um algoritmo guloso que, a cada passo, escolhe uma agregação de estados do diagnosticador baseada em uma medida que estima a agregabilidade de estados no próximo passo do algoritmo. Quanto maior o valor dessa medida, maior a possibilidade de novas agregações de estados, o que implica em uma maior redução do diagnosticador.

O primeiro passo para reduzir o diagnosticador consiste em agregar todos os estados positivos de  $G_d$  em um único estado, denotado por  $\{F\}$ , gerando um novo autômato diagnosticador  $G'_d = (X'_d, \Sigma_o, f'_d, x'_{0,d})$ , em que  $X'_d = \{\{x_d\} : x_d \in X_N \cup X_{NY} \cup \{F\}\}$ ,  $f'_d(\{x_d\}, \sigma) = \{f_d(x_d, \sigma)\}$ , se  $f_d(x_d, \sigma) \in X_N \cup X_{NY}$ ,  $f'_d(\{x_d\}, \sigma) = \{F\}$ , se  $f_d(x_d, \sigma) \in X_Y$ , e  $f'_d(\{F\}, \sigma) = \{F\}$  para todo  $\sigma \in \Sigma_o$ , e  $x'_{0,d} = \{x_{0,d}\}$ . A agregação dos estados positivos de  $G_d$  é possível uma vez que o conhecimento do estado do sistema após a detecção da falha é desnecessário para o diagnóstico e para o cálculo do atraso.

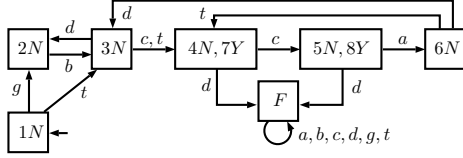


Figura 3. Autômato diagnosticador  $G'_d$ .

O exemplo 2 ilustra a construção do autômato diagnosticador  $G'_d$ , obtido a partir da redução de  $G_d$ .

**Exemplo 2.** Considere o mesmo autômato  $G$  apresentado no Exemplo 1, e seu diagnosticador  $G_d$  mostrado na Figura 2. Os estados positivos de  $G_d$  são  $\{7Y\}$  e  $\{8Y\}$ . Assim, é possível agregar  $\{7Y\}$  e  $\{8Y\}$  em um único estado, denotado por  $\{F\}$ , gerando o autômato diagnosticador  $G'_d$ , ilustrado na Figura 3. Note que um autolaço é introduzido em  $\{F\}$  rotulado com todos os eventos observáveis.  $\square$

No primeiro passo para a redução de diagnosticadores apenas estados positivos são agregados. Entretanto, em alguns casos, é possível reduzir  $G'_d$ , obtendo um novo autômato diagnosticador  $G''_d = (X''_d, \Sigma_o, \hat{f}_d, x''_{0_d})$ , agregando também estados negativos e incertos de  $G'_d$ . No Algoritmo 1, o autômato  $G''_d$ , obtido após a agregação de dois estados  $x$  e  $y$  de um autômato  $\hat{G}_d$  em um único estado  $x \cup y$ , é calculado. Vale ressaltar que todos os diagnosticadores reduzidos neste trabalho são obtidos através da agregação de estados do diagnosticador  $G'_d$ . Assim, uma vez que cada estado de  $G'_d$  é um conjunto unitário formado por cada estado de  $G_d$  ou  $\{F\}$ , então um estado de um diagnosticador reduzido tem a seguinte forma  $\{x_{d_1}, x_{d_2}, \dots, x_{d_n}\}$ , em que  $\{x_{d_i}\} \in X'_d$ . No Algoritmo 1,  $\hat{G}_d$  é um autômato reduzido obtido a partir de  $G'_d$  ou o próprio  $G'_d$ . Note que, no Algoritmo 1,  $\hat{G}_d$  e  $G''_d$  são considerados autômatos não-determinísticos, *i.e.*,  $\hat{f}_d : \hat{X}_d \times \Sigma_o \rightarrow 2^{\hat{X}_d}$  e  $f''_d : X''_d \times \Sigma_o \rightarrow 2^{X''_d}$ .

---

#### Algorithm 1: MERGE( $\hat{G}_d, x, y$ )

---

**Input:**  $\hat{G}_d = (\hat{X}_d, \Sigma_o, \hat{f}_d, \hat{x}_{0_d})$ ,  $x, y \in \hat{X}_d$

**Output:**  $G''_d = (X''_d, \Sigma_o, f''_d, x''_{0_d})$

- 1  $X''_d = (\hat{X}_d \setminus \{x, y\}) \cup \{x \cup y\}$
  - 2 **if**  $\hat{x}_{0_d} \in \{x, y\}$  **then**
  - 3    $x''_{0_d} \leftarrow x \cup y$
  - 4 **else**
  - 5    $x''_{0_d} \leftarrow \hat{x}_{0_d}$
  - 6 Seja  $xy = x \cup y$ . Defina a função de transição  $f''_d$ , para todo  $\sigma \in \Sigma_o$ , como:
    - (i)  $f''_d(xy, \sigma) = \hat{f}_d(x, \sigma) \cup \hat{f}_d(y, \sigma)$ , se  $(\hat{f}_d(x, \sigma) \cup \hat{f}_d(y, \sigma)) \cap \{x, y\} \neq \emptyset$
    - (ii)  $f''_d(xy, \sigma) = \{xy\} \cup (\hat{f}_d(x, \sigma) \setminus \{x, y\}) \cup (\hat{f}_d(y, \sigma) \setminus \{x, y\})$ , se  $\hat{f}_d(x, \sigma) \cap \{x, y\} \neq \emptyset$  ou  $\hat{f}_d(y, \sigma) \cap \{x, y\} \neq \emptyset$
    - (iii)  $f''_d(z, \sigma) = \hat{f}_d(z, \sigma)$ , para todo  $z \in \hat{X}_d \setminus \{x, y\}$ , se  $\hat{f}_d(z, \sigma) \cap \{x, y\} = \emptyset$
    - (iv)  $f''_d(z, \sigma) = \{xy\} \cup (\hat{f}_d(z, \sigma) \setminus \{x, y\})$ , para todo  $z \in \hat{X}_d \setminus \{x, y\}$ , se  $\hat{f}_d(z, \sigma) \cap \{x, y\} \neq \emptyset$
- 

**Teorema 2.**  $L(\hat{G}_d) \subseteq L(G''_d)$ .

*Prova.* A prova é obtida diretamente da operação de agregação de estados e será omitida devido à falta de espaço.  $\square$

De acordo com o Teorema 2, a linguagem gerada por  $G''_d$ , obtido pela agregação de estados de  $\hat{G}_d$ , contém a linguagem gerada por  $\hat{G}_d$ . Além disso, como é suposto que o próprio  $\hat{G}_d$  é obtido após a agregação de estados de  $G'_d$ , então o seguinte resultado pode ser enunciado.

**Corolário 1.**  $L(G'_d) \subseteq L(G''_d)$ .

Esse crescimento da linguagem não deve alterar a diagnosticabilidade do evento de falha  $\sigma_f$ , e nem alterar o atraso para o diagnóstico. Para tanto, a propriedade a seguir deve ser verdadeira.

#### Propriedade 1:

- (i) Para todo  $s \in L \setminus L_N$ , tal que  $P_o(s) \notin P_o(L_N)$ , tem-se que  $f''_d(x''_{0_d}, P_o(s)) = \{\{F\}\}$ .
- (ii) Para todo  $\omega \in L_N$ ,  $f''_d(x''_{0_d}, P_o(\omega)) \cap \{\{F\}\} = \emptyset$ .  $\square$

A condição (i) da Propriedade 1 garante que todas as sequências de falha  $s \in L \setminus L_N$ , que podem ser diagnosticadas por  $G_d$ , também podem ser diagnosticadas utilizando  $G''_d$  e com o mesmo atraso. Além disso, a condição (ii) da Propriedade 1 evita a geração de falsos positivos.

Para obter  $G''_d$ , apenas estados negativos e incertos de  $G'_d$  são agregados. Assim, é necessário definir quais estados de  $G'_d$  podem ser agregados para garantir a Propriedade 1.

**Definição 4.** Estados  $x, y \in X'_d \setminus \{\{F\}\}$  são ditos contraditórios se existe  $\sigma \in \Sigma_o$  tal que  $f'_d(x, \sigma) = \{F\}$  e  $f'_d(y, \sigma) \subset X_N \cup X_{NY}$ , ou vice-versa. Caso contrário, os estados  $x$  e  $y$  são ditos não-contraditórios.  $\square$

O próximo teorema apresenta uma condição necessária para garantir que  $G''_d$  satisfaz a Propriedade 1.

**Teorema 3.** Se a Propriedade 1 é válida, então estados contraditórios de  $G'_d$  não são agregados na obtenção de  $G''_d$ .

*Prova.* Considere, sem perda de generalidade, dois estados contraditórios  $x, y \in X'_d \setminus \{\{F\}\}$ , *i.e.*, existe  $\sigma \in \Sigma_o$  tal que  $f'_d(x, \sigma) = \{F\}$  e  $f'_d(y, \sigma) \subset X_N \cup X_{NY}$ . Seja  $\tilde{s} \in L$  a sequência de maior comprimento tal que  $f'_d(x'_{0_d}, P_o(\tilde{s})) = x$ . Assim, de acordo com o cálculo de  $G'_d$ , tem-se que  $s = \tilde{s}\sigma \in L \setminus L_N$  e  $P_o(s) \notin P_o(L_N)$ . Se os estados  $x$  e  $y$  forem agregados, formando um único estado  $xy = x \cup y$ , então, de acordo com a linha 6 do Algoritmo 1,  $f''_d(x''_{0_d}, P_o(\tilde{s})) = \{xy\}$ , e  $f''_d(x''_{0_d}, P_o(\tilde{s})\sigma) = \{f'_d(x, \sigma)\} \cup \{f'_d(y, \sigma)\}$ , se  $f'_d(y, \sigma) \notin \{x, y\}$ , ou  $f''_d(x''_{0_d}, P_o(\tilde{s})\sigma) = \{f'_d(x, \sigma)\} \cup \{xy\}$ , se  $f'_d(y, \sigma) \in \{x, y\}$ . Assim,  $f''_d(y, \sigma) \subset X_N \cup X_{NY}$ , e  $G''_d$  é incerto sobre a ocorrência da falha após a observação de  $P_o(\tilde{s})\sigma$ , violando a Propriedade 1.  $\square$

Note que não agregar estados contraditórios é apenas uma condição necessária para satisfazer a Propriedade 1, *i.e.*, é possível violar a Propriedade 1 agregando-se apenas estados não-contraditórios. Por exemplo, quando existir uma sequência de eventos  $s \in \Sigma_o^*$  de comprimento maior do que um tal que  $f'_d(x, s) = \{F\}$  e  $f'_d(y, s) \subset X_N \cup X_{NY}$  ou vice-versa, e  $x$  e  $y$  forem agregados, então a Propriedade 1 não será válida. Isso leva à seguinte definição.

Definição 5. Estados  $x, y \in X'_d \setminus \{\{F\}\}$  são ditos possivelmente agregáveis se não existir uma sequência de eventos  $s \in \Sigma_o^*$  tal que  $f'_d(x, s) = \{F\}$  e  $f'_d(y, s) \subset X_N \cup X_{NY}$ , ou vice-versa.  $\square$

Teorema 4. Dois estados  $x, y \in X'_d \setminus \{\{F\}\}$  podem ser agregados para formar  $G'_d$  satisfazendo a Propriedade 1, apenas se  $x, y$  forem possivelmente agregáveis.

*Prova.* A prova é obtida de maneira direta e será omitida devido à falta de espaço.  $\square$

Note que a condição apresentada no Teorema 4 é apenas necessária, uma vez que na Definição 5 não é levada em consideração a linguagem em excesso que pode ser gerada após a agregação de  $x$  e  $y$ .

No Algoritmo 2, um método para calcular todos os pares de estados do autômato  $G'_d$  que certamente não podem ser agregados de acordo com a Definição 5 é apresentado. Os pares de estados que certamente não podem ser agregados são armazenados no conjunto  $M_{not}$ . Note, de

---

**Algorithm 2:** NOT\_MERGEABLE( $G'_d$ )

---

**Input:**  $G'_d = (X'_d, \Sigma_o, f'_d, x'_{0d})$   
**Output:** Conjunto  $M_{not}$  formado por todos os pares de estados que não são agregáveis

- 1  $C := \{(x, y) \in X'_d \setminus \{\{F\}\} \times X'_d \setminus \{\{F\}\} : x, y \text{ são contraditórios}\}$
- 2  $M_{not} \leftarrow C$
- 3 Sinalize todos os pares em  $M_{not}$
- 4 Forme uma fila *first-in, first-out*  $Q$  com todos os pares de estados de  $C$  em qualquer ordem
- 5 **while**  $Q \neq \emptyset$  **do**
- 6      $(x, y) \leftarrow \text{head}[Q]$
- 7     **for**  $(w, z) \in X'_d \setminus \{\{F\}\} \times X'_d \setminus \{\{F\}\}$  *não sinalizado tal que existe*  $\sigma \in \Sigma_o$  *satisfazendo*  $f'_d(w, \sigma) = x$  *e*  $f'_d(z, \sigma) = y$  **do**
- 8          $M_{not} \leftarrow M_{not} \cup \{(w, z)\}$
- 9         Sinalize  $(w, z)$
- 10          $\text{Enqueue}(Q, (w, z))$
- 11  $\text{Dequeue}(Q)$

---

acordo com as definições 4 e 5, que estados contraditórios não são agregáveis. Assim, na linha 2 do Algoritmo 2,  $C$  é adicionado ao  $M_{not}$ . Além disso, note que se um par de estados  $(w, z)$  leva, após a ocorrência de um evento  $\sigma_o \in \Sigma_o$ , a um par de estados não-agregáveis, então  $(w, z)$  também é um par não-agregável. Dessa forma, nas linhas 7 e 8, esses estados são adicionados ao  $M_{not}$ . Uma fila *first-in first-out*  $Q$  é utilizada no Algoritmo 2, em que  $\text{head}[Q]$ ,  $\text{Enqueue}(Q, (w, z))$ , e  $\text{Dequeue}(Q)$ , denotam, respectivamente, os procedimentos para obter o primeiro elemento de  $Q$ , adicionar  $(w, z)$  ao final de  $Q$ , e remover o primeiro elemento de  $Q$ .

Como cada par de estados é sinalizado apenas uma vez no Algoritmo 2, então cada par é adicionado e retirado da fila apenas uma vez. Assim, a complexidade do Algoritmo 2 é  $O(|X'_d|^2)$ , que está associada ao número de pares de estados de  $G'_d$ .

Exemplo 3. Considere o diagnosticador  $G'_d$  ilustrado na Figura 3, em que  $\Sigma = \{a, b, c, d, t, \sigma_f\}$ ,  $\Sigma_o = \{a, b, c, d, t\}$  e  $\Sigma_{uo} = \Sigma_f = \{\sigma_f\}$ , e suponha que é desejado calcular todos

os pares de estados de  $G'_d$  que não podem ser agregados de acordo com a Definição 5. Assim, é necessário obter  $M_{not}$  utilizando o Algoritmo 2. Na linha 1 do Algoritmo 2, o conjunto  $C$ , formado por todos os pares de estados contraditórios de  $G'_d$ , é obtido:

$$C = \{(\{3N\}, \{4N, 7Y\}), (\{3N\}, \{5N, 8Y\}), (\{4N, 7Y\}, \{6N\}), (\{5N, 8Y\}, \{6N\})\}.$$

Na linha 2,  $C$  é adicionado ao conjunto  $M_{not}$ , e, na linha 4, a fila  $Q$  é formada com todos os pares de estados de  $C$ . Após isso, o procedimento principal do laço *while* da linha 5 começa. Se não for possível alcançar um par de estados  $(x, y)$  em  $M_{not}$  a partir de um par de estados  $(w, z)$  após a ocorrência de um evento  $\sigma \in \Sigma_o$ , então  $(x, y)$  é removido de  $Q$ . Caso contrário, o par  $(w, z)$  é adicionado a  $M_{not}$ . Considere que o primeiro elemento na fila  $Q$  é  $(\{3N\}, \{4N, 7Y\})$ . Pela Figura 3, pode-se notar que o par  $(\{3N\}, \{4N, 7Y\})$  é alcançado pelo par  $(\{1N\}, \{6N\})$  através do evento  $t$ . Assim,  $(\{1N\}, \{6N\})$  é adicionado a  $M_{not}$ , mas  $(\{3N\}, \{4N, 7Y\})$  não é removido de  $Q$ , uma vez que esse estado ainda é alcançado por outro par de estados. O algoritmo continua e é visto que o par  $(\{3N\}, \{4N, 7Y\})$  é alcançado pelo par  $(\{1N\}, \{3N\})$  através do evento  $t$ . Dessa forma,  $(\{1N\}, \{3N\})$  é adicionado a  $M_{not}$ . Como não existe mais nenhum outro par de estados que alcança o estado  $(\{3N\}, \{4N, 7Y\})$ , então o mesmo é removido de  $Q$ . O algoritmo continua até  $Q$  estar vazia. Procedendo dessa maneira obtém-se o conjunto  $M_{not} = \{(\{1N\}, \{3N\}), (\{1N\}, \{6N\}), (\{3N\}, \{4N, 7Y\}), (\{3N\}, \{5N, 8Y\}), (\{4N, 7Y\}, \{6N\}), (\{5N, 8Y\}, \{6N\})\}$ .  $\square$

No Algoritmo 3, é apresentado um método para encontrar um diagnosticador determinístico  $G''_d$  obtido após a agregação de dois estados  $x, y \in \hat{X}_d$  de um autômato  $\hat{G}_d$ . Para tal, o Algoritmo 1 é executado até a função de transição  $\tilde{f}_d$  se tornar determinística, *i.e.*, apenas um estado pode ser alcançado após a ocorrência de um evento ativo. Assim,  $G''_d$  obtido pelo Algoritmo 3 será determinístico. Outra importante característica de  $G''_d$  é que, assim como em Su and Wonham (2004) e Cai et al. (2019), seu espaço de estados  $X''_d$  é formado por uma partição de conjuntos disjuntos.

---

**Algorithm 3:** DET\_MERGE( $\hat{G}_d, x, y$ )

---

**Input:**  $\hat{G}_d = (\hat{X}_d, \Sigma_o, \hat{f}_d, \hat{x}_{0d})$ , e  $x, y \in \hat{X}_d$   
**Output:**  $G''_d = (X''_d, \Sigma_o, f''_d, x''_{0d})$

- 1  $\tilde{G}_d \leftarrow \text{MERGE}(\hat{G}_d, x, y)$
- 2 **while**  $\exists w \in \tilde{X}_d$  *tal que*  $|\tilde{f}_d(w, \sigma)| > 1$ , *para*  $\sigma \in \Sigma_o$  **do**
- 3      $\tilde{G}_d \leftarrow \text{MERGE}(\tilde{G}_d, \tilde{x}, \tilde{y})$ , em que  $\tilde{x}, \tilde{y} \in \tilde{f}_d(w, \sigma)$
- 4  $\hat{G}_d \leftarrow \tilde{G}_d$

---

Note que, para garantir o determinismo do autômato, após agregar dois estados  $x, y$ , é necessário agregar todos os pares de estados que são alcançados a partir de  $x$  e  $y$  após a ocorrência da mesma sequência observável. Assim, é possível que a agregação de dois estados possivelmente agregáveis  $x, y$  de acordo com a Definição 5 leve à agregação de dois estados não-agregáveis, o que mostra que  $x, y$

não podem ser agregados de fato. Além disso, é possível que agregar dois estados  $(x, y)$ , obrigue a agregação de outro par de estados que contenha  $x$  ou  $y$ . Considere, sem perda de generalidade, que o estado alcançado por  $(x, y)$  após a ocorrência de um evento observável, seja  $(x, z)$ . Nesse caso, para garantir o determinismo, é necessário agregar os três estados  $x, y, e z$  em um único estado. Para tal, todos os pares de estados formados por  $x, y, e z$  devem ser agregáveis.

Uma vez que a condição do Teorema 4 para garantir a Propriedade 1 é apenas necessária, torna-se importante enunciar uma condição necessária e suficiente para verificar a Propriedade 1. Considere que  $MS(x, y)$  denota o conjunto formado por todos os conjuntos de estados de  $G'_d$  que devem ser agregados para garantir o determinismo do diagnosticador reduzido, após a agregação dos estados  $x, y \in X'_d \setminus \{F\}$ . Então, a seguinte condição necessária e suficiente para garantir que os estados  $x, y \in X'_d$  são agregáveis pode ser enunciada.

**Teorema 5.** Estados  $x, y \in X'_d$  são agregáveis se, e somente se,  $F \notin M$  para todo  $M \in MS(x, y)$ .

*Prova.* ( $\Rightarrow$ ) Seja  $G''_d$  um diagnosticador determinístico obtido pela agregação dos estados  $x, y$  de  $G'_d$  de acordo com o Algoritmo 3. Pela construção de  $G''_d$ , tem-se que se  $s \in L(G'_d)$  é tal que  $f'_d(x'_{0_d}, s) = x'_d$ , então  $x'_d \subseteq x''_d$ , em que  $x''_d = f''_d(x'_{0_d}, s)$ . Assim, se  $F \notin M$ , para todo  $M \in MS(x, y)$ , então todas as sequências de falha que levam  $G'_d$  à  $\{F\}$ , também levam  $G''_d$  ao estado  $\{F\}$ , *i.e.*, todas as sequências de falha que podem ser diagnosticadas utilizando  $G'_d$  também podem ser diagnosticadas utilizando  $G''_d$ . Seguindo o mesmo raciocínio, pode-se notar que todas as sequências livres de falha não levam  $G''_d$  ao estado  $\{F\}$ , o que mostra que  $G''_d$  não gera falso positivo para a detecção da falha.

( $\Leftarrow$ ) Suponha agora que  $F \in M$ , em que  $M \in MS(x, y)$ . Então, existe um estado  $x_d \in X_N \cup X_{NY}$ , tal que  $x_d \in M$ . Pela construção de  $G''_d$ , há sequências diferentes  $s_1, s_2 \in L(G'_d)$ , tais que  $f'_d(x'_{0_d}, s_1) = \{x_d\}$  e  $f'_d(x'_{0_d}, s_2) = \{F\}$ . Assim, se um estado  $M$  de  $G''_d$  for alcançado, não é possível afirmar qual sequência  $s_1$  ou  $s_2$  ocorreu e, conseqüentemente, se houve a ocorrência do evento de falha. Assim, o diagnóstico do evento de falha, se possível, será atrasado se a sequência  $s_2$  for observada.  $\square$

No Algoritmo 4, um método para encontrar todos os conjuntos  $MS(x, y)$ , formados apenas pelos conjuntos de estados agregáveis de um autômato determinístico  $\hat{G}_d$ , obtido após a agregação de estados  $x, y \in \hat{X}_d$ , é apresentado. Os conjuntos  $MS(x, y)$  são armazenados em uma lista  $ML$ . Assim, se  $x, y$  forem não-agregáveis, então  $MS(x, y)$  não é adicionado à lista  $ML$ . Como no Algoritmo 4 a condição necessária apresentada no Teorema 4 é utilizada, sem a obtenção do autômato  $G''_d$  de maneira completa obtida utilizando o Algoritmo 3, o custo computacional para calcular  $MS(x, y)$  pode ser reduzido.

No Algoritmo 4, nas linhas 8 e 9, os estados  $(w, z)$  alcançados pelo estado  $(x, y)$  são computados, e a agregação de  $w, z$  é testada nas linhas 10 a 12 utilizando a condição necessária fornecida pelo Teorema 4. Note que esta condição pode ser facilmente verificada e, se não for verdadeira, então  $x, y$  não será agregável e o algoritmo poderá conti-

nuar verificando a agregação de outros pares de estados. Se  $(w, z)$  for possivelmente agregável, na linha 14 é verificado se existe em  $MS(x, y)$  um conjunto de estados com pelo menos um elemento igual a  $w$  ou  $z$ . Se esse conjunto não existir, então, na linha 15,  $(w, z)$  é adicionado a  $MS(x, y)$ . Por outro lado, se há um conjunto  $M \in MS(x, y)$  tal que  $w$  ou  $z$  pertençam a  $M$ , então, nas linhas 17 a 26, é verificado se é possível a substituição de  $M$  pelo novo conjunto de estados agregados em  $MS(x, y)$ . Para tal, todos os pares de estados formados com um elemento de  $\{w, z\}$  e outro de  $M$  devem ser possivelmente agregáveis. Finalmente, nas linhas 29 e 30, a condição necessária e suficiente do Teorema 5 é verificada e, se  $(x, y)$  for agregável, então o par  $[(x, y), MS(x, y)]$  é adicionado à lista  $ML$ .

---

**Algorithm 4:** COMPUTE\_MS( $\hat{G}_d, x, y$ )

---

**Input:**  $\hat{G}_d = (\hat{X}_d, \Sigma_o, \hat{f}_d, \hat{x}_{0_d})$   
**Output:** Lista  $ML$  em que cada elemento é da forma  $[(x, y), MS(x, y)]$

- 1  $\hat{M}_{not} \leftarrow \text{NOT\_MERGEABLE}(\hat{G}_d)$
- 2  $ML \leftarrow \text{NULL}$
- 3 **for**  $(x, y) \in (\hat{X}_d \times \hat{X}_d) \setminus \hat{M}_{not}$  **do**
- 4      $MS(x, y) \leftarrow \{\{x, y\}\}$
- 5     Forme uma fila *first-in, first-out*  $Q$  com o par  $(x, y)$
- 6     **while**  $Q \neq \emptyset$  **do**
- 7          $(x, y) \leftarrow \text{head}[Q]$
- 8         **for**  $\sigma \in \Gamma_{\hat{G}_d}(x) \cap \Gamma_{\hat{G}_d}(y)$  **do**
- 9              $(w, z) \leftarrow (f_d(x, \sigma), f_d(y, \sigma))$
- 10             **if**  $(w, z) \in \hat{M}_{not}$  **then**
- 11                  $MS(x, y) \leftarrow \emptyset$
- 12                 vá para a linha 3
- 13             **else**
- 14                 **if**  $\nexists M \in MS(x, y)$  tal que  $\{w, z\} \cap M \neq \emptyset$  **then**
- 15                      $MS(x, y) \leftarrow MS(x, y) \cup \{\{w, z\}\}$
- 16                 **else**
- 17                      $\hat{M} \leftarrow \emptyset$
- 18                     **for**  $M \in MS(x, y)$  tal que  $\{w, z\} \cap M \neq \emptyset$  **do**
- 19                          $U = \{(u, v) : u \in \{w, z\} \text{ e } v \in M\}$
- 20                         **if**  $U \cap \hat{M}_{not} \neq \emptyset$  **then**
- 21                              $MS(x, y) \leftarrow \emptyset$
- 22                             vá para a linha 3
- 23                         **else**
- 24                              $\hat{M} \leftarrow \hat{M} \cup M$
- 25                              $MS(x, y) \leftarrow MS(x, y) \setminus M$
- 26                          $MS(x, y) \leftarrow MS(x, y) \cup \{\hat{M} \cup \{w, z\}\}$
- 27              $\text{Enqueue}(Q, (w, z))$
- 28      $\text{Dequeue}(Q)$
- 29     **if**  $\nexists M \in MS(x, y)$  tal que  $F \in M$  **then**
- 30         Adicione  $[(x, y), MS(x, y)]$  à lista  $ML$

---

Como no Algoritmo 4, pares de estados são verificados para cada par de estados  $(x, y) \in \hat{X}_d \times \hat{X}_d$ , a complexidade computacional do Algoritmo 4 é  $O(|\hat{X}_d|^4)$ .

Exemplo 4. Considere o autômato  $G$  ilustrado na Figura 1, e seu diagnosticador  $G'_d$ , ilustrado na Figura 3, cujo conjunto de estados contraditórios  $M_{not}$  foi obtido no Exemplo 3. Para obter a lista  $ML$  que contém os estados agregáveis, é necessário computar  $MS(x, y)$  para cada par de estados  $(x, y) \in (X'_d \times X'_d) \setminus M_{not}$ , de acordo com o Algoritmo 4. Na linha 4, o primeiro par  $(x, y)$  é adicionado a  $MS(x, y)$  e na linha 5 a fila  $Q$  é formada começando pelo par  $(x, y)$ . Na linha 6, o laço while começa. Considere que o primeiro estado em  $Q$  é  $(\{1N\}, \{2N\})$ . Note que o par  $(\{1N\}, \{2N\})$  não alcança nenhum par de estados de  $G'_d$  através da execução do mesmo evento. Como  $(\{1N\}, \{2N\})$  é agregável, então o conjunto  $(\{1N\}, \{2N\})$  é adicionado a  $MS(\{1N\}, \{2N\})$ . Suponha que  $(\{3N\}, \{6N\})$  seja o próximo par de estados adicionado a  $Q$  na linha 5. Então, o par  $(\{2N\}, \{3N\})$  que é alcançado a partir de  $(\{3N\}, \{6N\})$  através do evento  $d$  é computado na linha 9, e a agregabilidade de  $(\{2N\}, \{3N\})$  é testada na linha 10. Como  $(\{2N\}, \{3N\}) \notin M_{not}$ , então é verificado na linha 14 se  $(\{2N\}, \{3N\}) \cap (\{3N\}, \{6N\}) = \emptyset$ . Como  $(\{2N\}, \{3N\}) \cap (\{3N\}, \{6N\}) \neq \emptyset$ , então na linha 19 o conjunto  $U = (\{2N\}, \{6N\})$  é formado, e na linha 20 é verificado se  $(\{2N\}, \{6N\})$  é não-agregável. Como  $(\{2N\}, \{6N\})$  é agregável, o conjunto  $(\{2N\}, \{3N\}, \{6N\})$  é adicionado a  $MS(\{3N\}, \{6N\})$ . O Algoritmo 4 continua até que todos os pares agregáveis  $x, y$ , cuja agregação leva a um diagnosticador determinístico, sejam adicionados à lista  $ML$ .  $MS(x, y)$  para cada par de estados agregáveis é dado por:  $MS(\{1N\}, \{2N\}) = (\{1N\}, \{2N\})$ ;  $MS(\{1N\}, \{4N, 7Y\}) = (\{1N\}, \{4N, 7Y\})$ ;  $MS(\{1N\}, \{5N, 8Y\}) = (\{1N\}, \{5N, 8Y\})$ ;  $MS(\{2N\}, \{3N\}) = (\{2N\}, \{3N\})$ ;  $MS(\{2N\}, \{4N, 7Y\}) = (\{2N\}, \{4N, 7Y\})$ ;  $MS(\{2N\}, \{5N, 8Y\}) = (\{2N\}, \{5N, 8Y\})$ ;  $MS(\{2N\}, \{6N\}) = (\{2N, 6N\})$ ;  $MS(\{3N\}, \{6N\}) = (\{2N, 3N, 6N\})$ ;  $MS(\{4N, 7Y\}, \{5N, 8Y\}) = (\{4N, 7Y\}, \{5N, 8Y\})$ .  $\square$

Após agregar um par de estados  $x, y \in \hat{X}_d$  de um autômato  $\hat{G}_d$ , todas as agregações de estados definidas em  $MS(x, y)$  devem ser realizadas. Então, um novo autômato  $G''_d = (X''_d, \Sigma_o, f''_d, x''_d)$  é computado. Para escolher qual par de estados  $(x, y)$  deve ser agregado para obter  $G''_d$ , o número de pares de estados possivelmente agregáveis de  $G''_d$ ,  $N_m$ , é definido da seguinte forma:

$$N_m = \frac{|X''_d|(|X''_d| - 1)}{2} - |M''_{not}|,$$

em que  $\frac{|X''_d|(|X''_d| - 1)}{2}$  é o número total de pares de estados de  $G''_d$ , e  $M''_{not}$  é o conjunto de pares de estados de  $G''_d$  que não são agregáveis, obtido através do Algoritmo 2.

Se  $N_m$  for grande, então há várias possibilidades de agregação de pares de estados de  $G''_d$ , o que implica que a chance de agregar mais estados no próximo passo do processo de redução será maior do que se  $N_m$  for um número pequeno. Utilizando este raciocínio escolhemos agregar, a cada passo do processo de redução, o par de estados do diagnosticador  $\hat{G}_d$  cuja agregação leva ao diagnosticador  $G''_d$  com o maior valor de  $N_m$ . Este procedimento está descrito no Algoritmo 5. Seguindo os passos do Algoritmo 5, o diagnosticador reduzido  $G^r_d$  é computado a partir de  $G'_d$ . Nas linhas 2 e 3,  $M_{not}$  e  $ML$  são computados para o autômato  $\hat{G}_d$ . Então, enquanto houver pares agregáveis em  $ML$ , na linha 7 o autômato  $G''_d$  é obtido para cada par  $[(x, y), MS(x, y)]$  de

---

**Algorithm 5: REDUCED\_DIAGNOSER( $G'_d$ )**


---

**Input:**  $G'_d$   
**Output:**  $G^r_d$

- 1  $\hat{G}_d \leftarrow G'_d$
- 2  $ML \leftarrow \text{COMPUTE\_MS}(\hat{G}_d, M_{not})$
- 3 **while**  $ML \neq \text{NULL}$  **do**
- 4      $LN \leftarrow \text{NULL}$
- 5     **for** cada elemento  $[(x, y), MS(x, y)]$  em  $ML$  **do**
- 6          $G''_d \leftarrow \text{DET\_MERGE}(\hat{G}_d, x, y)$
- 7          $M''_{not} \leftarrow \text{NOT\_MERGEABLE}(G''_d)$
- 8         Calcule  $N_m = \frac{|X''_d|(|X''_d| - 1)}{2} - |M''_{not}|$
- 9         Adicione  $[N_m, G''_d]$  à lista  $LN$
- 10     Encontre o número máximo  $N_{max}$  de  $N_m$  na lista  $LN$
- 11     Escolha um autômato  $G''_{d_{max}}$  associado a  $N_{max}$  em  $LN$
- 12      $\hat{G}_d \leftarrow G''_{d_{max}}$
- 13      $ML \leftarrow \text{COMPUTE\_MS}(\hat{G}_d, M_{not})$
- 14  $G^r_d \leftarrow \hat{G}_d$

---

$ML$  e, na linha 9,  $N_m$  é computado para cada  $G''_d$ . Na linha 10, o número máximo  $N_{max}$  de  $N_m$  é calculado. Note que mais de um autômato  $G''_d$  pode ter o mesmo valor de  $N_m = N_{max}$ . Assim, na linha 11, um autômato  $G''_{d_{max}}$  associado a  $N_{max}$  é aleatoriamente escolhido. Em seguida, na linha 13,  $ML$  é computado para  $G''_d$ . Se  $ML$  for  $\text{NULL}$ , *i.e.*, se não houver pares de estados agregáveis, o algoritmo para e retorna  $G^r_d = G'_d$ . Caso contrário, o algoritmo continua e um novo processo de redução ocorrerá.

No pior caso, o laço while do Algoritmo 5 agrega pares de estados até restar apenas um estado, *i.e.*, ocorrerão  $|X'_d| - 1$  agregações. Além disso, a cada iteração do laço for do Algoritmo 5, pares de estados são verificados para cada par de estados  $(x, y) \in X'_d \times X'_d$ , e  $ML$  é computada. Consequentemente, a complexidade do Algoritmo 5 é  $O(|X'_d|^5)$ . O processo de redução do diagnosticador está ilustrado no exemplo a seguir.

Exemplo 5. Considere novamente o autômato  $G$  ilustrado na Figura 1, e o diagnosticador  $G'_d$  ilustrado na Figura 3. Desejamos obter um diagnosticador reduzido,  $G^r_d$ , tal que o evento de falha possa ser diagnosticado com o mesmo atraso se utilizarmos  $G'_d$ . Para tanto, será utilizado o Algoritmo 5. Na linha 2, o conjunto  $M_{not}$ , apresentado no Exemplo 3, é computado. Na linha 3,  $MS(x, y)$ , obtido no Exemplo 4, é computado para cada par de estados agregáveis de  $G'_d$ . Na linha 9,  $N_m$  é calculado para cada  $MS(x, y)$  obtido no passo anterior, e a lista  $LN$  é obtida. Note que  $G'_d$  possui seis estados, logo  $|X'_d| = 6$ . Os valores de  $N_m$  para cada par de estados  $(x, y)$  de  $ML$  são: (i) 3, para  $(\{1N\}, \{2N\})$ ; (ii) 6, para  $(\{1N\}, \{4N, 7Y\})$ ; (iii) 6, para  $(\{1N\}, \{5N, 8Y\})$ ; (iv) 4, para  $(\{2N\}, \{3N\})$ ; (v) 3, para  $(\{2N\}, \{4N, 7Y\})$ ; (vi) 3, para  $(\{2N\}, \{5N, 8Y\})$ ; (vii) 4, para  $(\{2N\}, \{6N\})$ ; (viii) 4, para  $(\{3N\}, \{6N\})$ ; e (ix) 6, para  $(\{4N, 7Y\}, \{5N, 8Y\})$ . Assim,  $N_{max} = 6$ . Então, de acordo com o Algoritmo 5, qualquer par de estados tal que  $N_m = 6$  pode ser escolhido para ser agregado. Por exemplo, suponha que os estados  $\{1N\}$  e

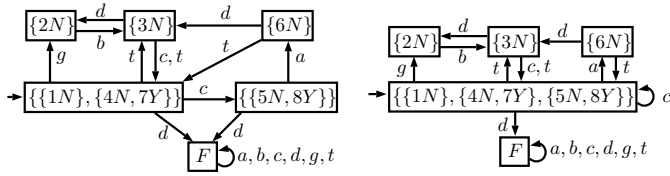


Figura 4. Agregação dos estados  $\{1N\}$  e  $\{4N, 7Y\}$  (a); e  $\{\{1N\}, \{4N, 7Y\}\}$  com  $\{5N, 8Y\}$  (b), no Exemplo 5.

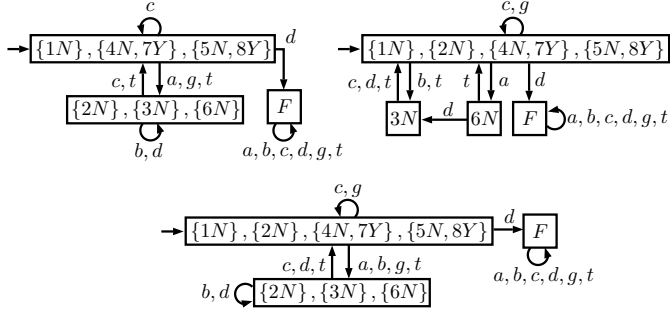


Figura 5. Autômato  $G_d^r$  do Exemplo 5 (a); diagnosticadores reduzidos aplicando os métodos propostos em Su and Wonham (2004) (b) e Minhas (2002) (c).

$\{4N, 7Y\}$  sejam agregados. Então, o diagnosticador  $G_d''$ , ilustrado na Figura 4(a), é obtido.

Como ainda há estados agregáveis, o algoritmo continua computando  $ML$  e, para cada  $[(x, y), MS(x, y)]$  de  $ML$ , é procurado o diagnosticador reduzido determinístico que leva ao maior valor de  $N_m$ . Os valores de  $N_m$  para cada par de estados  $(x, y)$  de  $ML$  são: (i) 1, para  $(\{\{1N\}, \{4N, 7Y\}\}, \{2N\})$ ; (ii) 4, para  $(\{\{1N\}, \{4N, 7Y\}\}, \{5N, 8Y\})$ ; (iii) 2, para  $(\{2N\}, \{3N\})$ ; (iv) 1, para  $(\{2N\}, \{5N, 8Y\})$ ; (v) 2, para  $(\{2N\}, \{6N\})$ ; e (vi) 2, para  $(\{3N\}, \{6N\})$ . Como  $N_{max} = 4$ , então, o par de estados  $\{\{1N\}, \{4N, 7Y\}\}, \{5N, 8Y\}$  é agregado, e o diagnosticador  $G_d''$ , ilustrado na Figura 4(b), é obtido. Como  $G_d''$  ainda possui estados agregáveis, o Algoritmo 5 continua. Assim, os valores de  $N_m$  são calculados: (i) 0, para  $(\{\{1N\}, \{4N, 7Y\}, \{5N, 8Y\}\}, \{2N\})$ ; (ii) 1, para  $(\{2N\}, \{3N\})$ ; (iii) 1, para  $(\{2N\}, \{6N\})$ ; e (iv) 1, para  $(\{3N\}, \{6N\})$ . Como  $N_{max} = 1$ , então qualquer par de estados associado a esse valor de  $N_m$  pode ser agregado. Suponha que os estados  $\{3N\}, \{6N\}$  sejam agregados. Então, como  $MS(\{3N\}, \{6N\}) = \{\{2N\}, \{3N\}, \{6N\}\}$ , os três estados  $\{2N\}, \{3N\}, \{6N\}$  são agregados. Note que não é mais possível reduzir  $G_d''$ , já que  $ML = NULL$ . Portanto, o diagnosticador reduzido  $G_d^r$  é obtido, conforme ilustrado na Figura 5(a). É importante ressaltar que o diagnosticador reduzido obtido aplicando-se o método proposto em Su and Wonham (2004) possui mais estados que  $G_d^r$  (Figura 5(b)). Já aplicando o método de Minhas (2002), um autômato com o mesmo número de estados de  $G_d^r$  é obtido, porém esse autômato é não-determinístico (Figura 5(c)).  $\square$

#### 4. CONCLUSÕES

Neste artigo, um método para computar um diagnosticador reduzido determinístico, mantendo tanto a diagnosticabilidade quanto o atraso para o diagnóstico do diagnosticador original, é proposto. A estratégia de redução

proposta não depende do ordenamento prévio dos estados, podendo levar a um diagnosticador determinístico com um número menor de estados do que quando são utilizadas outras estratégias propostas na literatura.

#### REFERÊNCIAS

- Cai, K., Giua, A., and Seatzu, C. (2019). On consistent reduction in discrete-event systems. In *Proc. 15th IEEE Int. Conf. on Automation Science and Engineering*, 474–479. Vancouver, Canada.
- Cassandras, C. and Lafortune, S. (2008). *Introduction to Discrete Event Systems*. Springer-Verlag, New York, Inc., Secaucus, NJ.
- Clavijo, L.B. and Basilio, J.C. (2017). Empirical studies in the size of diagnosers and verifiers for diagnosability analysis. *Discrete Event Dynamic Systems*, 27(4), 701–739.
- da Silva Neto, F.A.C. (2008). *Redução de Supervisores Utilizando Marcação por Eventos e Métodos de Otimização*. Dissertação de mestrado, Departamento de Automação e Sistemas, Universidade Federal de Santa Catarina, Florianópolis, Brasil.
- Hopcroft, J.E., Motwani, R., and Ullman, J.D. (2006). *Introduction to Automata Theory, Languages and Computation*. Addison-Wesley, Boston, MA: USA, 3 edition.
- Minhas, R.S. (2002). *Complexity Reduction in Discrete Event Systems*. Ph.D. thesis, ECE Department, University of Toronto, Canada.
- Sampath, M., Sengupta, R., and Lafortune, S. (1995). Diagnosability of discrete-event systems. *IEEE Transactions on Automatic Control*, 9(40), 1555–1575.
- Sivollella, L.F., da Cunha, A.E.C., and Ades, R. (2006). Redução de supervisores como ferramenta para a implementação de supervisores em controladores discretos. In *Congresso Brasileiro de Automática*. Salvador, Brasil.
- Su, R. and Wonham, W.M. (2004). Supervisor reduction for discrete-event systems. *Journal of Discrete Event Dynamic Systems*, 14(1), 31–53.
- Tomola, J.H.A., Cabral, F.G., Carvalho, L.K., and Moreira, M.V. (2017). Robust disjunctive-codiagnosability of discrete-event systems against permanent loss of observations. *IEEE Transactions on Automatic Control*, 62(11), 5808–5815.
- Vaz, A.F. and Wonham, W.M. (1986). On supervisor reduction in discrete-event systems. *International J. Control*, 44(2), 475–491.
- Viana, G.S., Moreira, M.V., and Basilio, J.C. (2019). Codiagnosability analysis of discrete-event systems modeled by weighted automata. *IEEE Transactions on Automatic Control*, 64(10), 4361–4368.
- Yoo, T.S. and Garcia, H.E. (2003). Computation of fault detection delay in discrete-event systems. In *Proceedings of the 14th International Workshop on Principles of Diagnosis, DX'03*, 207–212. Washington, USA.
- Yoo, T. and Lafortune, S. (2002). Polynomial-time verification of diagnosability of partially observed discrete-event systems. *IEEE Transactions on Automatic Control*, 47(9), 1491–1495.
- Zad, S.H., Kwong, R.H., and Wonham, W.M. (2003). Fault diagnosis in discrete-event systems: Framework and model reduction. *IEEE Transactions on Automatic Control*, 48(7), 1199–1212.